

LAMOST J024048.51 + 195226.9

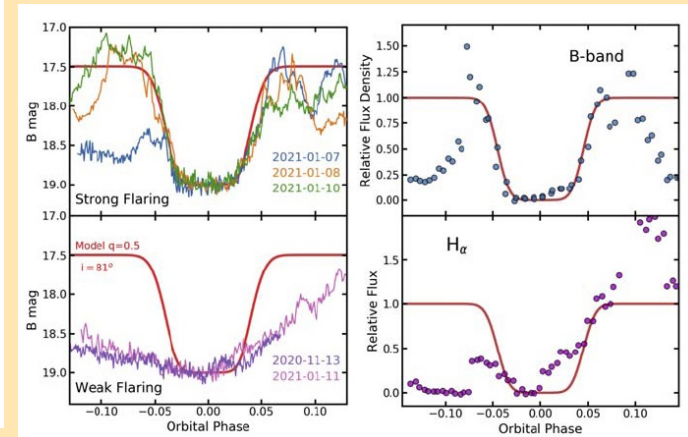
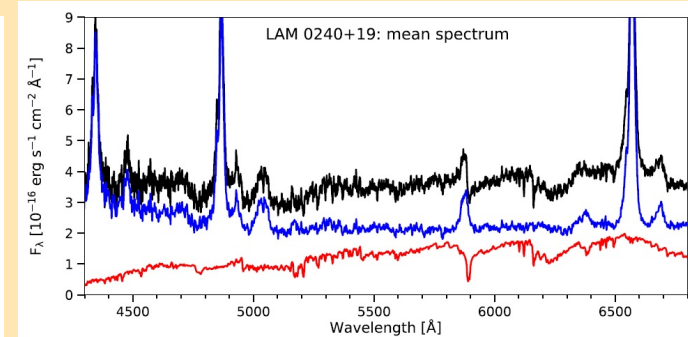
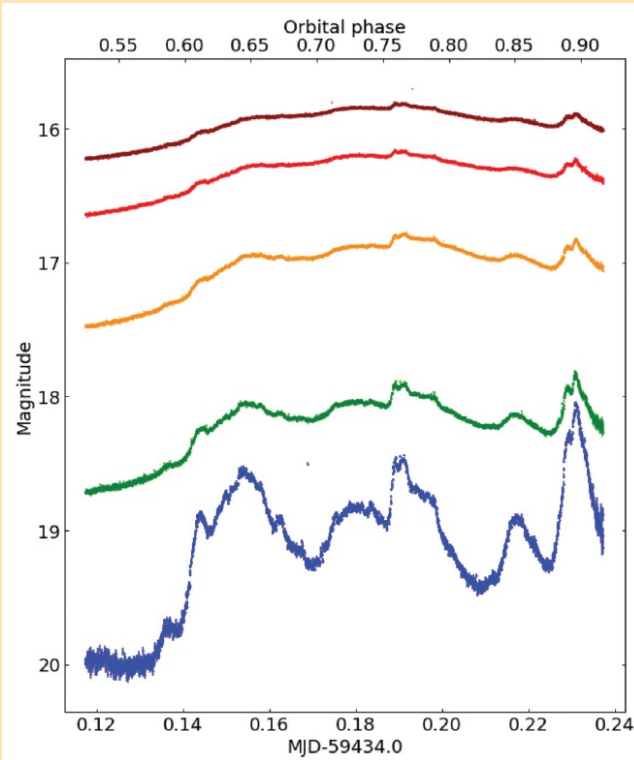
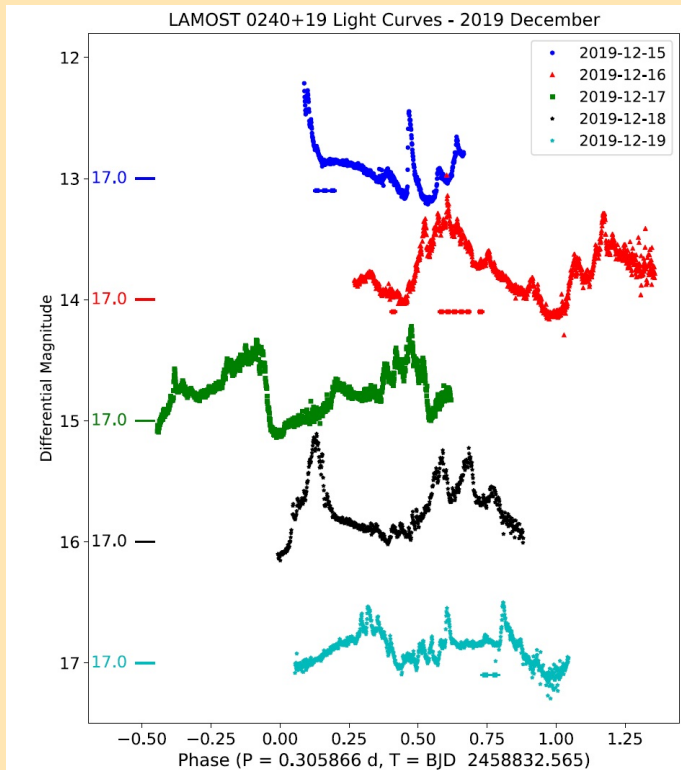
Двойная система: [WD + M1.5V]; $d \simeq 620 \pm 30$ pc; $V=16-17$;

$P_{\text{orb}} \simeq 7.4$ h; $P_s \simeq 24.9$ s

Нетепловой, переменный радиоисточник (VLA, VLBI)

[2.4 m Hiltner]; [1.3 m McGraw-Hill]; [1 m Lesedi SAAO]; [74-inch SAAO]

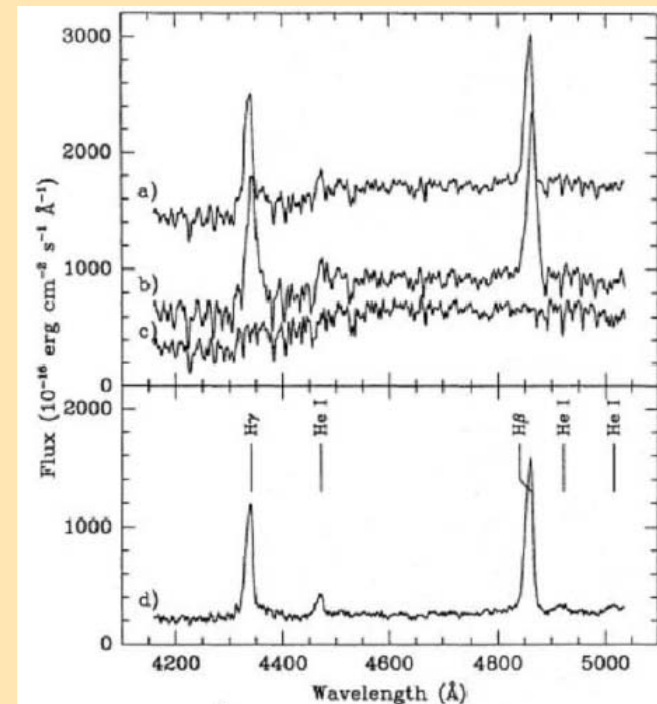
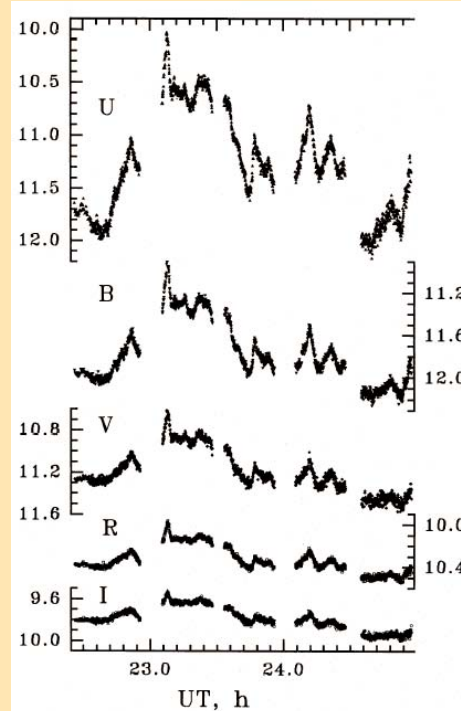
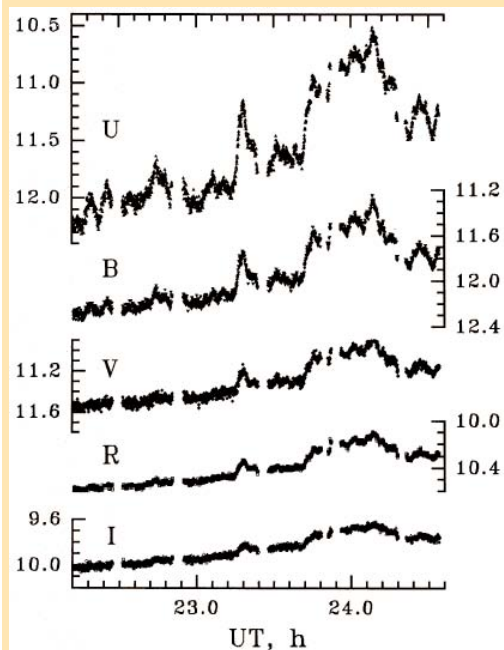
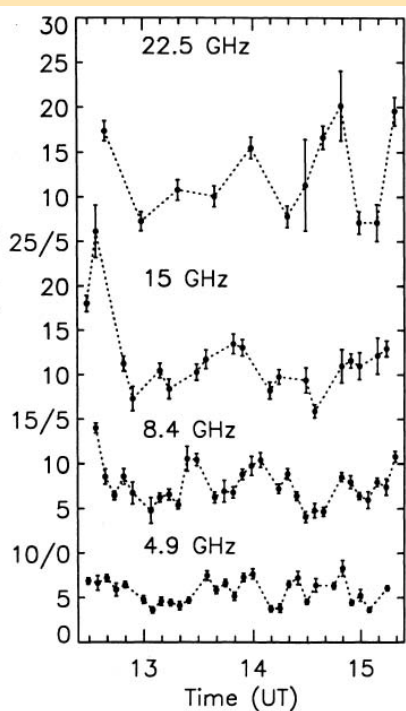
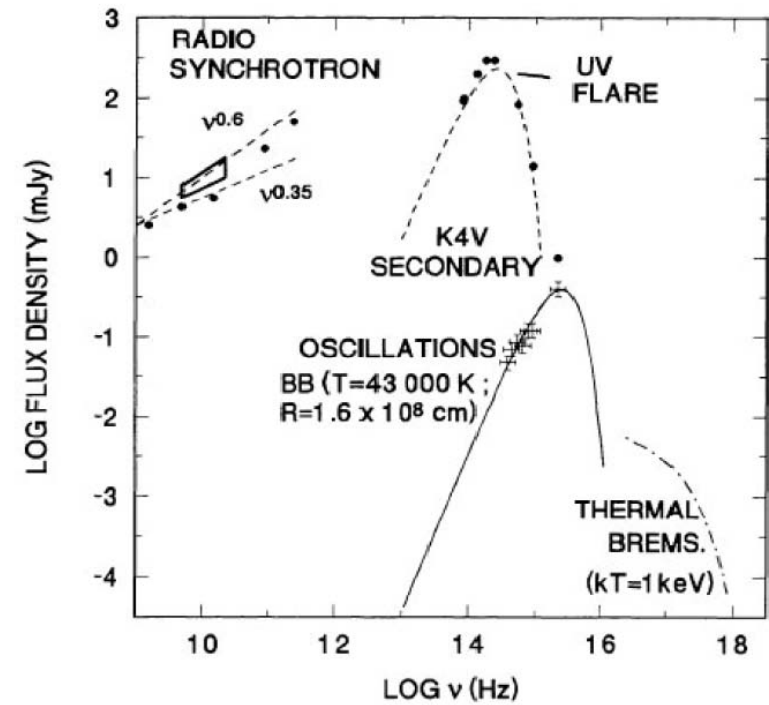
[8.4 m \times 8.4 m Binocular]; [200-inch Palomar]; [10.4 m Gran Telescope Canarias]



Самый быстро вращающийся белый карлик !

Spectrum and light curves of AE Aquarii

Component	Quiescence	Flares	Average
Balmer Continuum	2.0×10^{31}	8.4×10^{31}	...
UV-Emission lines	1.6×10^{31}	4.1×10^{31}	...
$H\alpha$	4.8×10^{30}	1.4×10^{31}	...
0.1–5 keV (X-rays)	7.8×10^{30}	1.7×10^{31}	...
5–240 MHz (Radio)	10^{28}	2×10^{29}	...
L_b (Bolometric luminosity)	10^{33}
L_{sd} (WD Spin-down power)	6×10^{33}



Параметры

АЕ Водолея

J0240+1952

Расстояние

 91.34 ± 0.13 pc 620 ± 30 pc

Орбитальный период

9.88 hr

7.34 hr

Эксцентриситет

 ≈ 0 ≈ 0

Наклонение

 $43^\circ - 70^\circ$ $\geq 81^\circ$

Композиция:

K4 IV + WD

M1.5 V + WD

БК масса

 $0.8 - 1.2 M_\odot$ $0.8 - 1.2 (> 0.7) M_\odot$

БК Период вращения

33.16 s

24.93 s

БК Темп торможения

 $5.6 \times 10^{-14} \text{ s s}^{-1}$

???

БК Магнитное поле

50 MG

???

БК Время торможения

 10^7 yr

???

БК Время остывания

 $\sim 10^9$ yr $\sim 10^9$ yr

БК Температура

10 000 – 16 000 K

10 000 – 25 000 K

БК Полярные шапки

26 000 K (0.16 S_{WD})30 000 K (0.2 S_{WD})

Эпоха раскрутки

Возраст БК: \gg Времени его торможения

$$t_{\text{cool}} \gg t_{\text{th}} \gg \tau_{\text{sd}} = P_s / 2\dot{P}_s$$

Аккреционная раскрутка в предыдущую эпоху!

- Нормальный компонент заполняет свою полость Роша
- Дисковая аккреция на поверхность БК
 - Формирование диска ($r_{\text{st}} \leq r_{\text{circ}}$)
 - Фаза аккреционной раскрутки ($K_{\text{su}} \geq K_{\text{sd}}^{(0)}$)
 - Предельный период вращения БК ($r_{\text{in}} \leq r_{\text{cor}}(P_s)$)

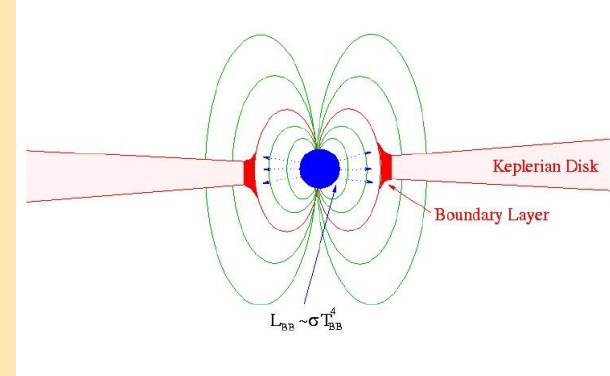
$$\text{AE Водолея: } r_{\text{in}} \leq \left[0.02 r_A \right] \times \mu_{34}^{-4/7} P_{33}^{2/3} \dot{M}_{17}^{2/7} m^{10/21}$$

$$\text{AR Скорпиона: } r_{\text{in}} \leq \left[0.02 r_A \right] \times \mu_{34.7}^{-4/7} P_{117}^{2/3} \dot{M}_{17}^{2/7} m^{10/21}$$

$$r_A = \left(\frac{\mu^2}{\dot{M} (2GM_{\text{ns}})^{1/2}} \right)^{2/7} \quad \left[\rho v_{\text{ff}} \right] (r_A) = \frac{B^2(r_A)}{8\pi}$$

Радиус магнитосферы звезды аккрецирующей из диска

$$\left\{ \begin{array}{l} \frac{\mu^2}{2\pi r_m^6} = \rho(r_m) c_s^2(r_m) \\ \dot{M}_{in}(r) = S \rho v_{\perp} = 4\pi r \delta_m \rho c_s \equiv \dot{M}_a \\ \delta_m(r) = \left[t_{ff}(r) D_{eff}(r) \right]^{1/2} \\ D_{eff}(r) = \alpha_B D_B(r) = \alpha_B \rho_i c_s^2 \end{array} \right.$$



$$\dot{M}_{in}(r) \propto r^{-11/4}$$

$$r_N \simeq 0.94 \lambda_0 \left(\frac{c m_p}{e} \right)^{2/11} \times \frac{\mu^{6/11}}{\dot{M}^{4/11} (GM_{ns})^{1/11}}$$

$$r_N \simeq 0.02 r_A \times \lambda_0 \mu_{34}^{-2/77} m^{7/77} \dot{M}_{17}^{-6/77}$$

Радиальная скорость
газа в диске

и

скорость его диффузии
в магнитосфере

РАВНЫ!!!

$$v_r = v_{\perp}$$

Стационарное течение без особенности на границе магнитосферы

Магнитное поле WD в J0240 + 19

По аналогии с АЕ Водолея и АR Скорпиона предполагаем, что $r_{\text{in}} \simeq r_{\text{N}}$

$$\mu \simeq 6 \times 10^{33} \text{ G cm}^3 \times \lambda_0^{-11/6} \left(\frac{m}{0.8 M_{\odot}} \right)^{7/9} \left(\frac{\dot{M}}{10^{17} \text{ g/s}} \right)^{2/3} \left(\frac{P_s}{25 \text{ s}} \right)^{11/9}$$

$$B_{\text{wd}} \simeq 35 \text{ MG} \times \left(\frac{\mu}{6 \times 10^{33} \text{ G cm}^3} \right) \left(\frac{R_{\text{wd}}}{7 \times 10^8 \text{ cm}} \right)^{-3}$$

Радиус магнитосферы в течение фазы раскрутки:

$$r_{\text{N}} \simeq 1.2 \times 10^9 \text{ cm} \times \lambda_0 \left(\frac{\mu}{6 \times 10^{33} \text{ G cm}^3} \right)^{6/11} \left(\frac{\dot{M}}{10^{17} \text{ g/s}} \right)^{-4/11} \left(\frac{m}{0.8 M_{\odot}} \right)^{1/11}$$

Ожидаемый темп торможения вращения белого карлика:

$$\dot{P}_s \simeq 2 \times 10^{-14} \text{ s s}^{-1} \times f I_{50}^{-1} P_{25}^{-1} \left(\frac{\mu}{6 \times 10^{33} \text{ G cm}^3} \right)^2$$

Характерное время торможения: $P_s/2\dot{P}_s \simeq 20$ млн. лет

Композиция	K4 IV + WD	M1.5 V + WD
Темп течения газа	$5 \times 10^{-9} M_{\odot}/\text{yr}$???
БК масса	$0.8 - 1.2 M_{\odot}$	$0.8 - 1.2 M_{\odot}$
БК Период вращения	33.16 s	24.93 s
БК Темп торможения	$5.6 \times 10^{-14} \text{ s s}^{-1}$	$[2 \times 10^{-14} \text{ s s}^{-1}]$
БК Темп потерь вращательной энергии	10^{34} erg/s	$5 \times 10^{33} \text{ erg/s}$
БК Светимость	10^{31} erg/s	$5 \times 10^{31} \text{ erg/s}$
БК Магнитное поле	50 MG	[35 MG]
БК Время торможения	10^7 yr	$2 \times 10^7 \text{ yr}$
БК Время остывания	$\sim 10^9 \text{ yr}$	$\sim 10^9 \text{ yr}$
БК Температура	10 000 – 16 000 K	10 000 – 25 000 K